

Giant Diffusion in einem zweidimensionalen Neuronenmodell

Richard Kullmann

28. Oktober 2019

Giant Diffusion

- ▶ "Giant Enhancement of (thermal) Diffusion"
- ▶ bereits von Risken bei Brownschen Teilchen in gekipptem periodischen Potential gefunden (1984)
- ▶ Bezeichnung um 2000 in verschiedenen Papers eingeführt
- ▶ im Allgemeinen bei bistabilen Systemen zu finden
- ▶ im Limes verschwindenden Rauschens divergiert Diffusionskoeffizient

$$D_{eff} = \lim_{t \rightarrow \infty} \frac{\langle x^2(t) \rangle - \langle x(t) \rangle^2}{2t} \left(= \frac{\langle N^2(t) \rangle - \langle N(t) \rangle^2}{2t} \right)$$

- ▶ große Verbesserung des SNR erwartet

$$SNR = \frac{\varepsilon^2 T |dr/dl|^2}{8 \cdot D_{eff}}$$

Weitere Größen von Interesse

- ▶ mittlere Geschwindigkeit (Feuerrate):

$$r = \lim_{t \rightarrow \infty} \frac{\langle x(t) - x(0) \rangle}{t} \left(= \frac{\langle N(t) \rangle}{t} \right)$$

- ▶ Fano-Faktor:

$$F = \frac{\langle \Delta N^2(t) \rangle}{\langle N(t) \rangle} = \frac{2D_{eff}}{Lr}$$

Brownsche Teilchen im gekippten periodischen Potential

Theorie: Bewegungsgleichungen

- ▶ Langevin-Gleichung:

$$\dot{x} = v$$

$$\dot{v} = -\gamma v - U'(x) + \sqrt{2\gamma kT} \xi(t)$$

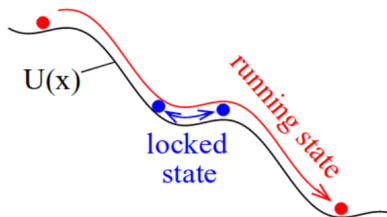
mit¹

$$U(x) = -Fx - d \cos(x)$$

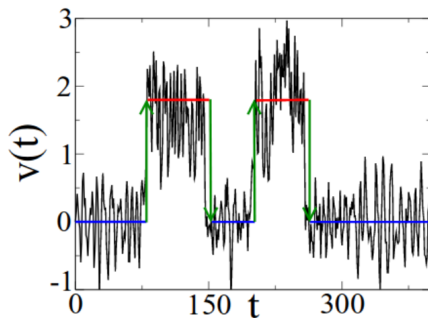
- ▶ γ : Reibungskoeffizient, $\langle \xi(t) \xi(t') \rangle = \delta(t - t')$, $d = 1$

¹Benjamin Lindner und Igor M. Sokolov, "Giant diffusion of underdamped particles in a biased periodic potential," *Physical Review E* 93, 2016.

Theorie - Potential

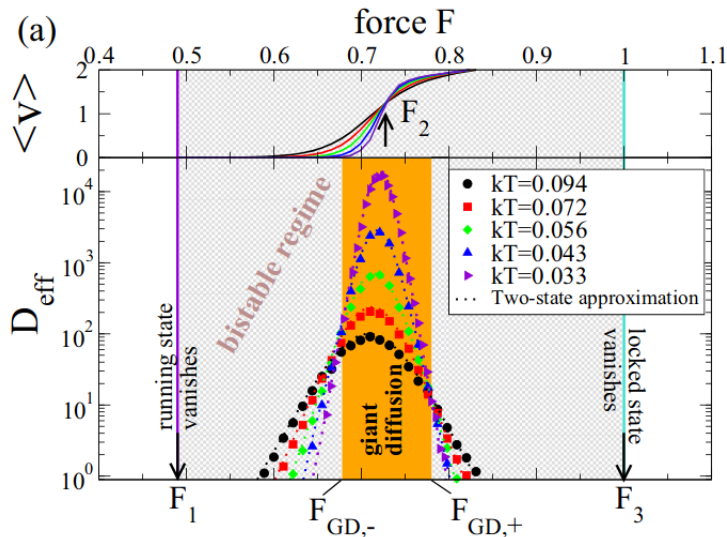


- Bewegung von Kugeln in einem gekippten Kosinuspotential

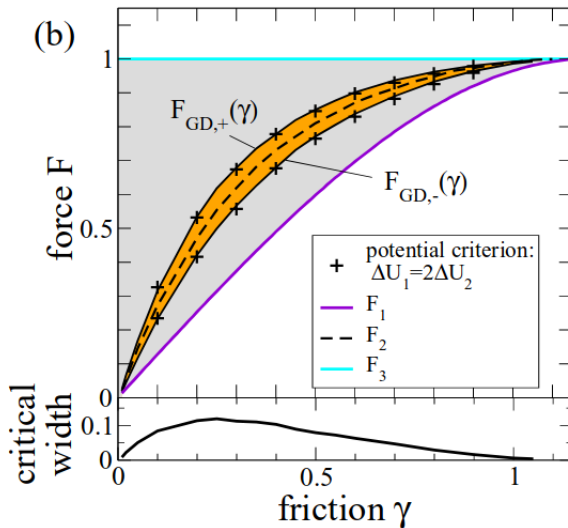


- Bistabilität der Geschwindigkeit

Simulation: Diffusionskoeffizient



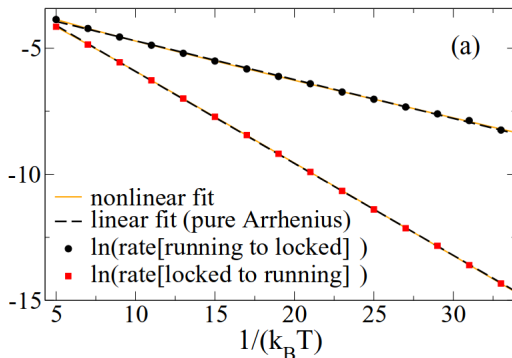
Simulation - kritischer Bereich



Berechnung effektiver Potentialbarrieren

- Annahme: Übergangsraten zeigen Kramers-ähnliches Verhalten:

$$w \propto T^\alpha e^{-\frac{\Delta U}{kT}}$$



- Fits für $\alpha = 0$ und $\alpha \neq 0$ liefern ähnliche Barrieren

Zwei-Zustands-System

- ▶ geringes Rauschen: Verhalten des Systems durch Übergänge zwischen Zuständen bestimmt
- ▶ für Übergangsraten wird Arrhenius-Gleichung angenommen:

$$w_{\pm} = w_{0,\pm} e^{-\frac{\Delta U_{\pm}}{Q}}$$

- ▶ w_- : ruhend zu laufend, w_+ umgekehrt, Q : Rauschintensität
- ▶ D_{eff} aus Raten und $\Delta r = r_+ - r_-$:

$$D_{\text{eff}} = \frac{(\Delta r)^2 w_+ w_-}{(w_+ + w_-)^3}$$

Zwei-Zustands-System

- ▶ gesucht: F_{crit}
- ▶ nahe Schnittpunkt: $D_{eff}(Q, F) = D_{eff}(F)$
- ▶ Einsetzen:

$$\begin{aligned}
 D_{eff} &= \frac{(\Delta r)^2 w_{0,+} w_{0,-} e^{-\frac{\Delta U_+ + \Delta U_-}{Q}}}{\left(w_{0,+} e^{-\frac{-\Delta U_+}{Q}} + w_{0,-} e^{-\frac{-\Delta U_-}{Q}} \right)^3} \\
 &= \frac{(\Delta r)^2 w_{0,+} w_{0,-}}{\left(w_{0,+} e^{-\frac{3\Delta U_+ - \Delta U_+ - \Delta U_-}{3Q}} + w_{0,-} e^{-\frac{3\Delta U_- - \Delta U_+ - \Delta U_-}{3Q}} \right)^3} \\
 &= \frac{(\Delta r)^2 w_{0,+} w_{0,-}}{\left(w_{0,+} e^{-\frac{2\Delta U_+ - \Delta U_-}{3Q}} + w_{0,-} e^{-\frac{2\Delta U_- - \Delta U_+}{3Q}} \right)^3}
 \end{aligned}$$

Zwei-Zustands-System

$$D_{\text{eff}} = \frac{(\Delta r)^2 w_{0,+} w_{0,-}}{\left(w_{0,+} e^{-\frac{2\Delta U_+ - \Delta U_-}{3Q}} + w_{0,-} e^{-\frac{2\Delta U_- - \Delta U_+}{3Q}} \right)^3}$$

- Fall 1: $\Delta U_+ > \Delta U_-$:

$$D_{\text{eff}} \approx \frac{(\Delta r)^2 w_{0,+}}{w_{0,-}^2} e^{-\frac{\Delta U_+ - 2\Delta U_-}{Q}}$$

- bei $\left| \frac{d}{dF} \left(\frac{(\Delta r)^2 w_{0,+}}{w_{0,-}^2} \right) / \frac{d}{dF} D_{\text{eff}} \right| \ll 1$:

$$\Delta U_+ = 2\Delta U_-$$

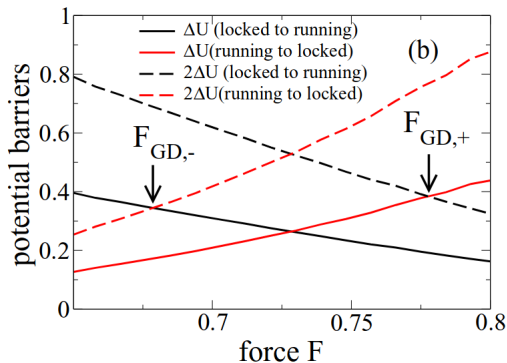
- symmetrisches Problem \rightarrow 2. Schnittpunkt bei

$$\Delta U_- = 2\Delta U_+$$

- $\Delta U_{\pm} = 2\Delta U_{\mp}$

Berechnung effektiver Potentialbarrieren

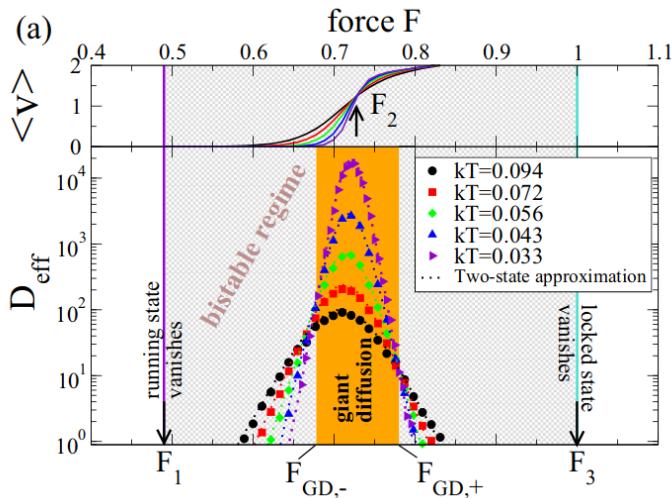
- Plotten von ΔU und $2\Delta U$ für verschiedene Kräfte



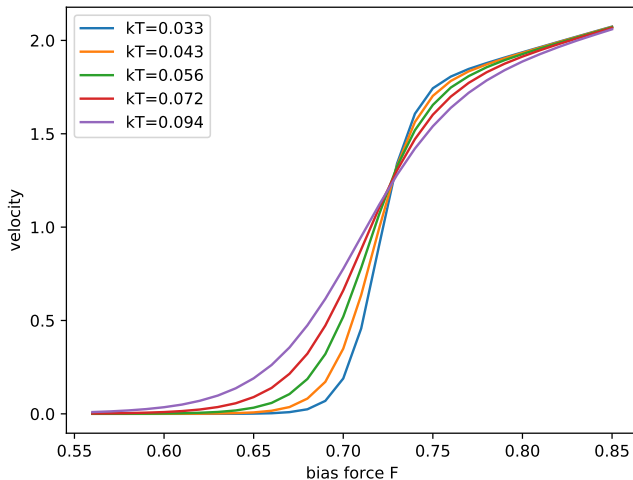
- Schnittpunkte etwa bei $F = 0.68$ und $F = 0.78$

Berechnung effektiver Potentialbarrieren

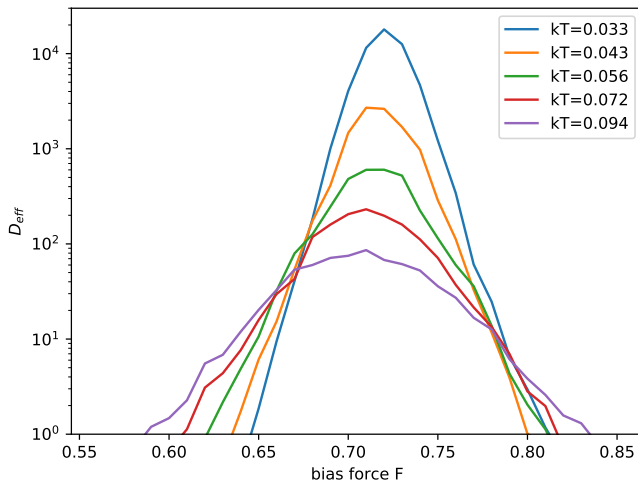
► Vergleich mit Simulation



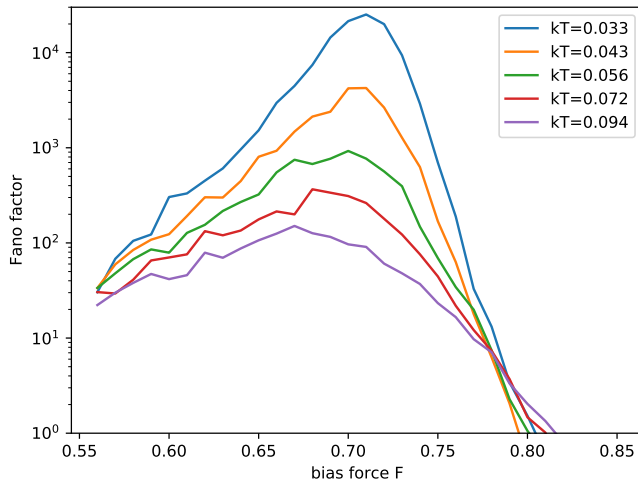
Reproduktion: Geschwindigkeit



Reproduktion: Diffusionskoeffizient



Reproduktion: Fano - Faktor



Zwei-Zustands-System

- ▶ gesucht: mögliche Schnittpunkte im Fano-Faktor

$$F = \frac{2D_{\text{eff}}}{r}$$

- ▶ Mittelwert der Geschwindigkeit:

$$r = r_+ \frac{w_-}{w_+ + w_-}$$

- ▶ Einsetzen der Übergangsraten:

$$\begin{aligned} F &= \frac{2r_+ w_+}{(w_+ + w_-)^2} = \frac{2r_+ w_{0,+} e^{-\frac{\Delta U_+}{Q}}}{\left(w_{0,+} e^{-\frac{\Delta U_+}{Q}} + w_{0,-} e^{-\frac{\Delta U_-}{Q}} \right)^2} \\ &= \frac{2r_+ w_{0,+}}{\left(w_{0,+} e^{-\frac{2\Delta U_+ - \Delta U_+}{2Q}} + w_{0,-} e^{-\frac{2\Delta U_- - \Delta U_+}{2Q}} \right)^2} \end{aligned}$$

Zwei-Zustands-System

$$F = \frac{2r_+ w_{0,+}}{\left(w_{0,+} e^{-\frac{2\Delta U_+ - \Delta U_-}{2Q}} + w_{0,-} e^{-\frac{2\Delta U_- - \Delta U_+}{2Q}} \right)^2}$$

► $\Delta U_+ > \Delta U_-$:

$$F = \frac{2r_+ w_{0,+}}{w_{0,-}^2} e^{-\frac{\Delta U_+ - 2\Delta U_-}{Q}} \rightarrow \Delta U_+ = 2\Delta U_-$$

► $\Delta U_+ < \Delta U_-$:

$$F = \frac{2r_+}{w_{0,+}} e^{-\frac{\Delta U_+ - 2\Delta U_+}{Q}} \rightarrow \Delta U_+ = 0$$

- eine Barriere muss verschwinden \rightarrow Rand des Gültigkeitsbereichs der Zwei-Zustands-Theorie erreicht
- rechter Schnittpunkt bleibt erhalten, linker verschiebt sich weiter nach links

Nervenmodell

Übergang Brownsche Teilchen → Nervenmodell

	mechanical interpretation	neuroscience interpretation
	position, phase	spike count
	mean velocity	firing rate
	diffusion coefficient	Fano factor x rate
	Velocity power spectrum	Spike train power spectrum
	temperature	inverse number of channels

Theorie: Modell

► $I_{Na,p} + I_K$ -Modell:

$$C\dot{V} = I - g_L(V - E_L) - g_{Na}m_\infty(V)(V - E_{Na}) - g_Kn(V - E_K) + \sqrt{2D}\xi(t)$$

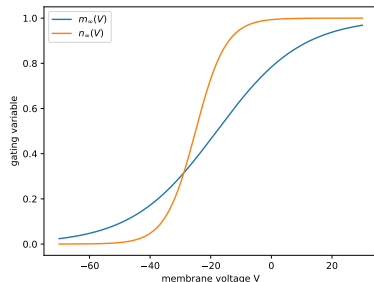
$$\dot{n} = (n_\infty(V) - n)/\tau(V)$$

Steady-State-Aktivierungsfunktion:

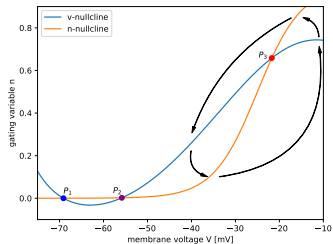
$$f_\infty(V) = \frac{1}{1 + \exp\{(V_{1/2} - V)/k\}}$$

hierbei ist k die Steigung, sowie:

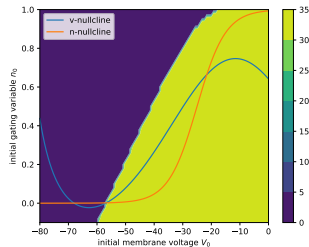
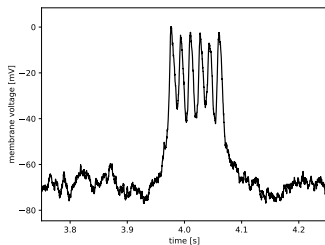
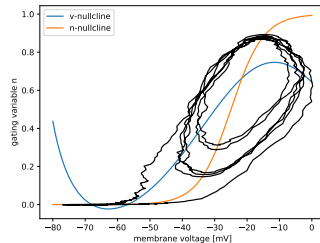
$$f_\infty(V_{1/2}) = 1/2$$



Phasenraum

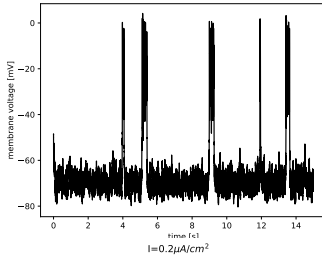


spike count per starting point

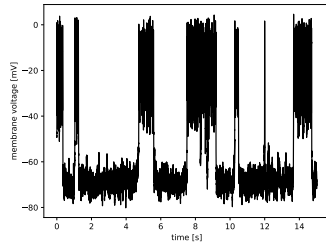

 $I = -0.1 \mu\text{A}/\text{cm}^2$

 $I = -0.1 \mu\text{A}/\text{cm}^2$


Variation von I

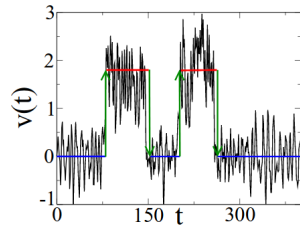
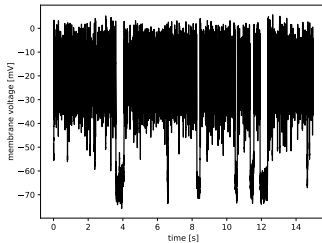
$I = -0.1 \mu A/cm^2$



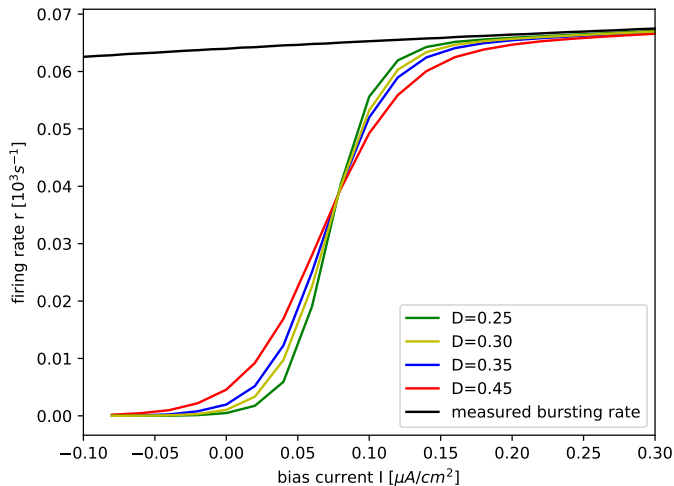
$I = 0$



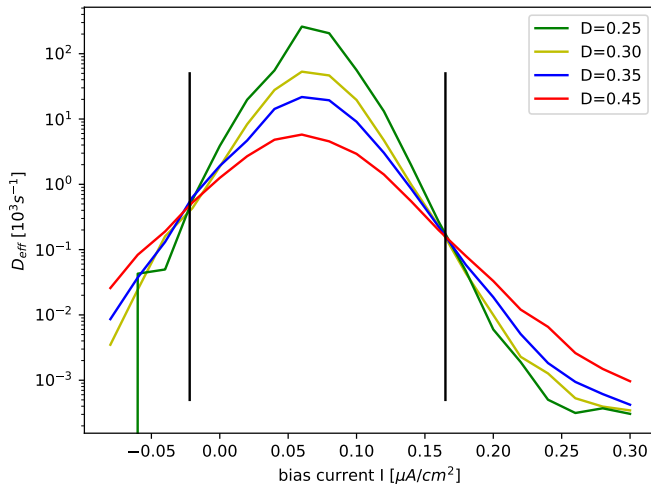
$I = 0.2 \mu A/cm^2$



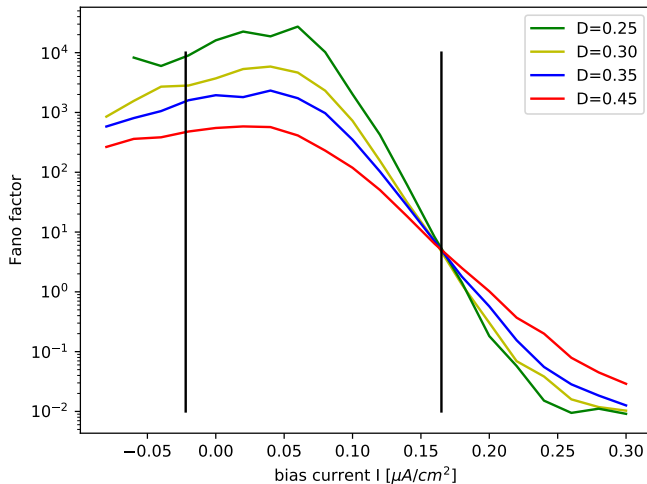
Simulation: Feuerrate



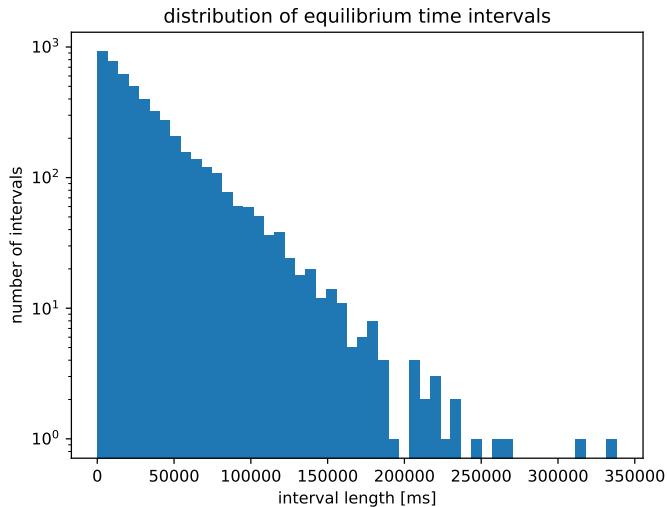
Simulation: Diffusionskoeffizient



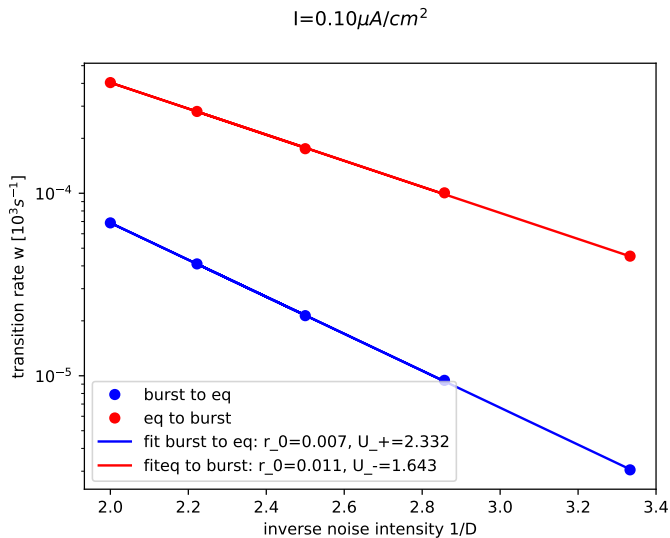
Simulation: Fano-Faktor



Intervallstatistik



Arrhenius-Fit



Arrhenius-Fit

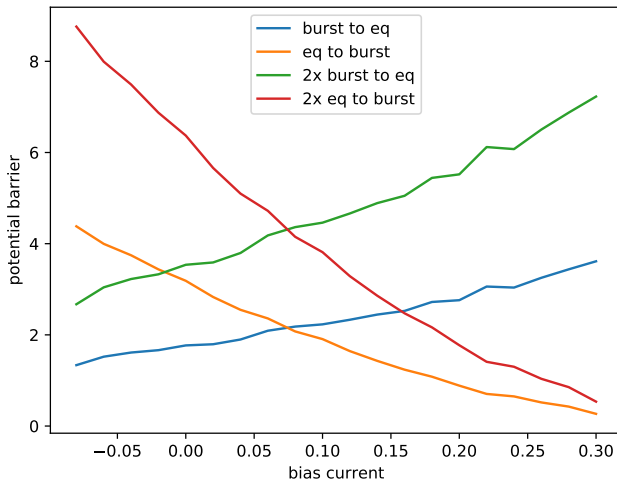
- Übergangsraten:

$$w_{\pm} = w_{0,\pm} e^{-\frac{\Delta U_{\pm}}{Q}}$$

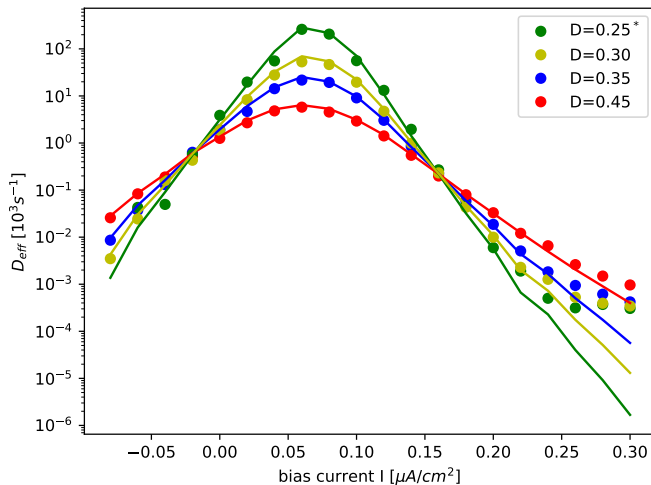
- $w_{0,\pm}$ und ΔU_{\pm} aus Fits:
- D_{eff} und F aus Raten und $\Delta r = r_+ - r_- = r_+$:

$$D_{\text{eff}} = \frac{r_+^2 w_+ w_-}{(w_+ + w_-)^3}$$
$$F = \frac{2r_+ w_+}{(w_+ + w_-)^2}$$

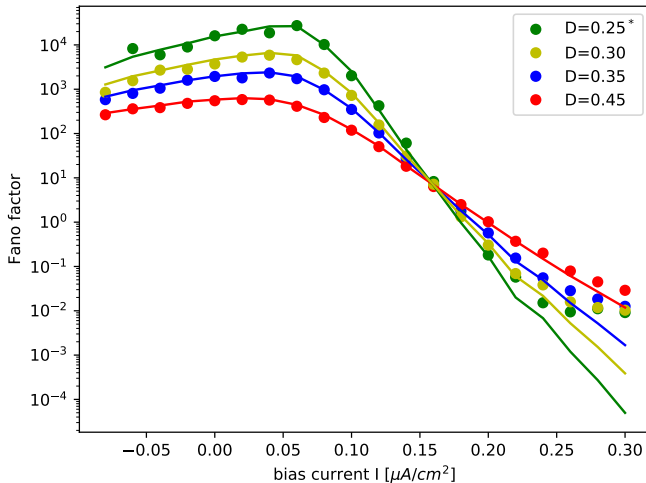
Barrieren für verschiedene Ströme



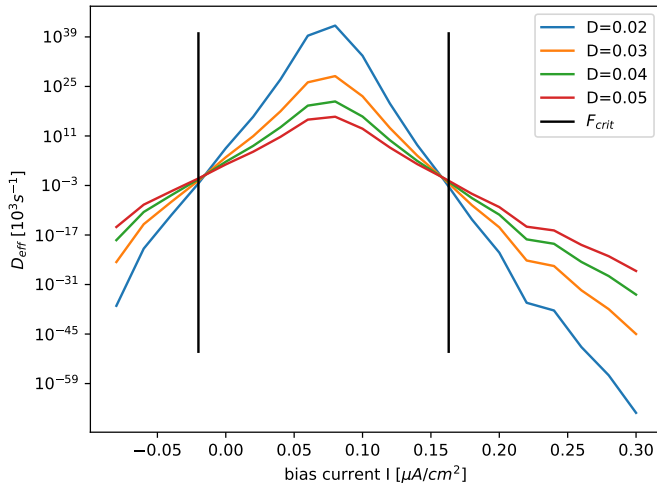
Vergleich mit Zwei-Zustands-Modell: D_{eff}



Vergleich mit Zwei-Zustands-Modell: F



Vorhersage des Zwei-Zustands-Modells



Bestimmung des SNR

- ▶ System mit schwachem Cosinus-Signal:

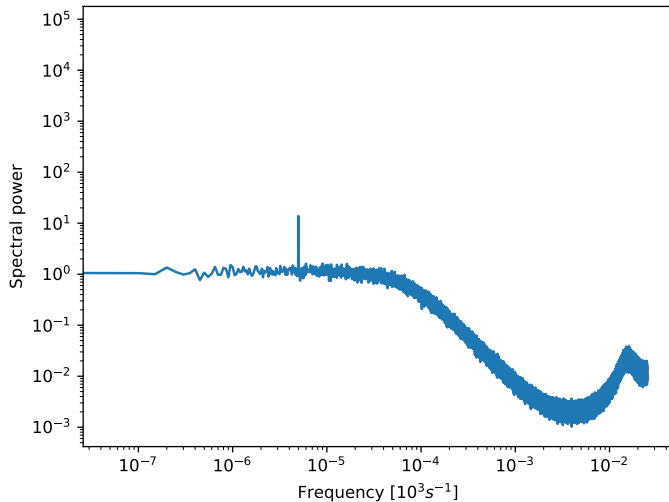
$$C\dot{V} \rightarrow C\dot{V} + \varepsilon \cos(\omega t + \phi)$$

- ▶ Spektrum aus FT des δ -Spike-trains
- ▶ SNR kann aus Feuerrate und D_{eff} berechnet werden:

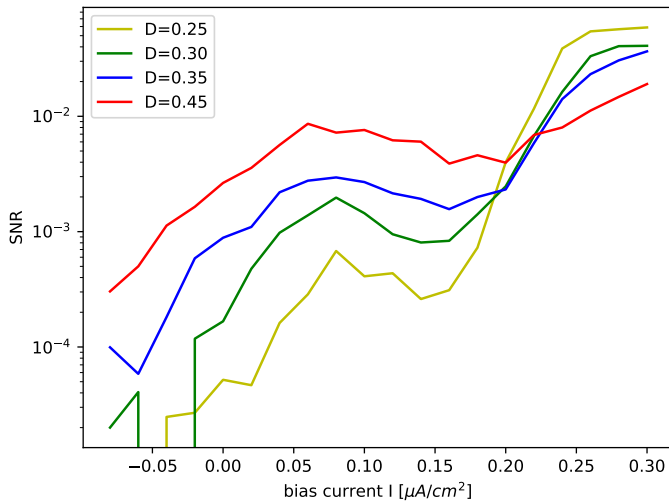
$$SNR = \frac{\varepsilon^2 T}{4} \frac{|\chi(\omega)|^2}{S_0(\omega)} = \frac{\varepsilon^2 T |dr/dl|^2}{8 \cdot D_{eff}}$$

Spektrum mit schwachem periodischen Signal

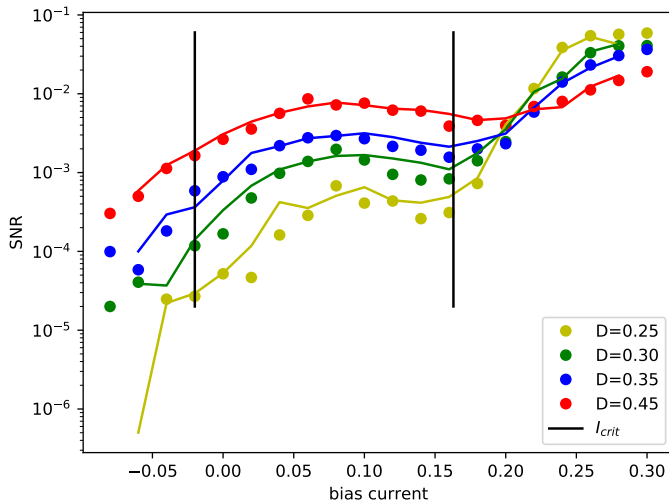
$I=0.14, D=0.45$



SNR



Vergleich SNR - Theorie



SNR in Zwei-Zustands-Theorie

- Ableitung der Feuerrate:

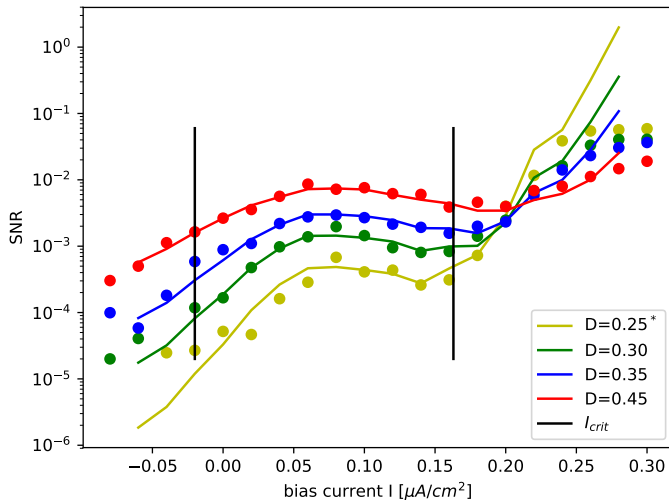
$$\begin{aligned}\frac{dr}{dl} &= \frac{d}{dl} \left(\frac{r_+ w_-}{w_+ + w_-} \right) = \frac{r'_+ w_-}{w_+ + w_-} + \frac{r_+ w'_-}{w_+ + w_-} - \frac{r_+ w_- (w'_+ + w'_-)}{(w_+ + w_-)^2} \\ &= \frac{r'_+ w_-}{w_+ + w_-} + \frac{r_+ (w_+ w'_- - w_- w'_+)}{(w_+ + w_-)^2}\end{aligned}$$

- Ableitung der Übergangsraten:

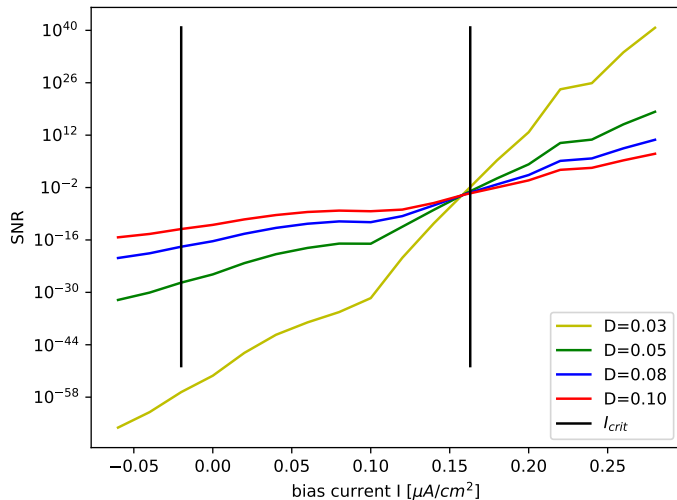
$$w'_\pm = \frac{w'_{0,\pm}}{w_{0,\pm}} w_\pm - \frac{\Delta U'_\pm}{D} w_\pm = \left(\frac{w'_{0,\pm}}{w_{0,\pm}} - \frac{\Delta U'_\pm}{D} \right) w_\pm$$

- r'_+ , $w'_{0,\pm}$ und $\Delta U'_\pm$ numerisch

Vergleich SNR - Zwei-Zustands-Theorie



Vorhersage mit Zwei-Zustands-Theorie



Zusammenfassung und Ausblick

- ▶ analog zu Brownschen Teilchen wurde im Nervenmodell ein Bereich gefunden, in dem Giant Diffusion auftritt
- ▶ kritische Punkte, an denen D_{eff} von Rauschen unabhängig
- ▶ Zwei-Zustands-Theorie liefert gute Beschreibung
- ▶ starke Verbesserung des SNR beobachtet
- ▶ als nächstes: Untersuchung vergleichbarer, realistischerer Nervenmodelle auf Giant Diffusion

Zusammenfassung und Ausblick

- vereinfachtes Hodgkin-Huxley Modell mit 2 Variablen:

$$C\dot{V} = I_{app} - g_{Na}m_{\infty}^3(V)(1-W)(V - V_{Na}) \\ - g_K(W/S)^4(V - V_K) - g_L(V - V_L) \\ \dot{W} = \phi [W_{\infty}(V) - W] / \tau(V)$$

